

I - 4 偏心圧縮荷重を受ける鋼薄肉断面柱の非線形挙動について

九州大学 正員 太田俊昭
“ 学生員 ○藤崎和久

1. まえがき

さてに著者らは、曲げと軸力を受けるばかりに対して幾何学的非線形と材料的非線形を考慮した弾塑性大変位理論を発表したが、これは、従来の一貫した有限要素法による解法に対して、部材要素に対して塑性を考慮した座屈たわみ角式を用いることにより計算容量を減じうるよう試みたものである。

すなわち、塑性曲率 ϕ^P を導入することにより塑性を考慮して座屈たわみ角式(図-1参照)

$$\left. \begin{aligned} M_A &= (4EI/l + 4NL/30) \cdot \tau_A + (2EI/l - NL/30) \cdot \tau_B - EI\phi_A^P \\ M_B &= (2EI/l - NL/30) \cdot \tau_A + (4EI/l + 4NL/30) \cdot \tau_B - EI\phi_B^P \\ N &= EA(l-l_0)/l + EA \cdot (2\tau_A^2 - \tau_A \cdot \tau_B + 2\tau_B^2)/30 - EA(E_{car}^P + E_{cb}^P)/2 \end{aligned} \right\} \quad (1)$$

より、荷重増分に対して、材端力増分 Δf と部材変形増分 $\Delta \tau$ の関係は、次式で与えられる。

$$\Delta f = k_e \cdot \Delta \tau + A f^P \quad (\Delta f = [\Delta M_A, \Delta M_B, \Delta N]^T, \Delta \tau = [\Delta \tau_A, \Delta \tau_B, \Delta l]^T) \quad (2)$$

また、変形の適合条件より $\Delta \tau$ と材端変位増分 Δu の関係は、次のようになる。

$$\Delta \tau = \alpha_{A1} \cdot \Delta u_A + \alpha_{B1} \cdot \Delta u_B \quad (\Delta u = [\Delta \theta, \Delta x, \Delta y]^T) \quad (3)$$

さらに、A点とB点の材端力の座標変換式は、荷重増分に対して

$$\Delta P_A = A_A \cdot \Delta f + b \cdot \left(\frac{\Delta R}{\Delta l}\right), \Delta P_B = A_B \cdot \Delta f - b \cdot \left(\frac{\Delta R}{\Delta l}\right) \quad (4)$$

となる。ここで

$$\left(\frac{\Delta R}{\Delta l}\right) = C \cdot \Delta u_A - C \cdot \Delta u_B \quad (\Delta P = [\Delta M, \Delta x, \Delta y]^T) \quad (5)$$

式(2),(3),(4),(5)より、部材要素に対する剛性方程式が得られ、次のようになる(文献1参照)。

$$\begin{bmatrix} \Delta P_A \\ \Delta P_B \end{bmatrix} = \begin{bmatrix} k_{AA} & k_{AB} \\ k_{BA} & k_{BB} \end{bmatrix} \begin{bmatrix} \Delta u_A \\ \Delta u_B \end{bmatrix} + \begin{bmatrix} A_A \cdot \Delta f^P \\ A_B \cdot \Delta f^P \end{bmatrix} \quad \begin{aligned} k_{AA} &= A_A \cdot k_c \cdot \alpha_A + bC, & k_{AB} &= A_A \cdot k_c \cdot \alpha_B - bC \\ k_{BA} &= A_B \cdot k_c \cdot \alpha_A - bC, & k_{BB} &= A_B \cdot k_c \cdot \alpha_B + bC \end{aligned} \quad (6)$$

あとは、通常の手法により部材全体の剛性方程式が求まる。

本研究は、式(6)を用いて偏心圧縮荷重を受ける鋼薄肉断面柱の非線形挙動を解析し、他の解析解および実験値との比較を行ない、本理論の精度および実用性について検討して結果を報告するものである。

解析例は、一貫した有限要素法を用い、塑性域の広がりを考慮した解析を行つて、藤田氏の数値解析例題と、著者らが行つた実験例題をとりあげ報告する。数値解析にあたり、これは変位増分法を用い、また、Newton-Raphson 法により収束計算を行つた。

2. 数値解析例および考察

図-2は、藤田氏らが行つたH型鋼偏心圧縮の例題である。藤田氏らの20分割に対し本法は10分割である。最高荷重については、本法は、藤田氏らの実験値および解析解より高目の値を与えるが、全体的変形性状はかなり良い一致を示している。 $\delta e = 60^\circ$ は最高荷重附近で少々ずれが大きくなるが、細長比の小さい柱では初期にわみおよび残留応力の影響が大きいので参考までに残留応力を考慮した解析を行つた。

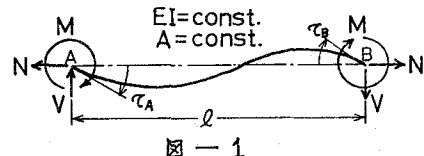


図-1

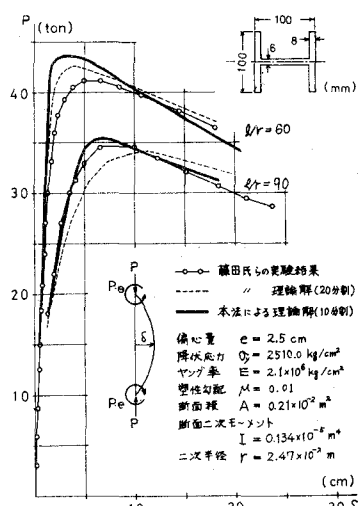


図-2 H型鋼偏心圧縮

結果は図-3に示すように、
残留応力を考慮することによ
りかなり良い一致を示すこと
が期待される。

図-4は、リーハイ大学で
行なわれた Beam-Column の M- θ
の関係を求める例題である。
この場合も本法は実験値から
びに藤田氏らの解析解よりも
高目のMを与えるが、実験値
にかなり良い一致を示してい
ることがわかる。

図-5は、著者らが行な
った鋼箱型断面柱の偏心圧縮実験
結果と数値解析結果を示した
ものである。 $\theta/r = 90^\circ$ はかなり
良い一致を示しているが $\theta/r = 60^\circ$
の場合には少々ずれが目
立つ。最高荷重の違いにつ
いては、部材長が 70cm ぐらいで
比較的短かく実験時の不整に
による影響が大きいこと、また
使用材料の材料定数のばらつ
きが大きかったことなどが原
因に考えられる。また塑性座
屈の後、荷重が急激にダウン
しているのは局部座屈が起
ったためだと思われる。

また、本例題に対して有限
変形理論による解析も行なったので参考までに図-6に示す。変形の小さい領域ではほとんど一致するが、塑
性座屈後大変形になるとつれて大にわかれ理论との差がひらいていくことがわかる。

以上の結果より、本理論は次のような特徴をもつと言える。

- 部材要素に対して座屈にわたり角式を用いることにより容量の低減が防かれ、弾塑の主塔など全体構
造系の中の曲げと軸力を受ける部材の彈塑性大にわかれ解析等に有利である。

- 容量の低減により計算時間の短縮が防かれ、しかも、工場的に十分な精度を期待しうる。

<参考文献>

- 太田俊昭、藤崎和久他：“曲げと軸力を受ける柱に対する弾塑性大にわかれ理論”，工学会西部支部、昭和51年度 研究発表会講演集
- 藤田謙也：“平面骨組構造物の最高荷重（弾塑性有限変形解析）”，日本鋼構造学会第5回大会マテリアル構造解析法研究発表論文集 p.6.6
- Galambos, T. V., Lay, M. G.; "Studies of Ductility of Steel Structures," A.S.C.E. ST4, August, 1965

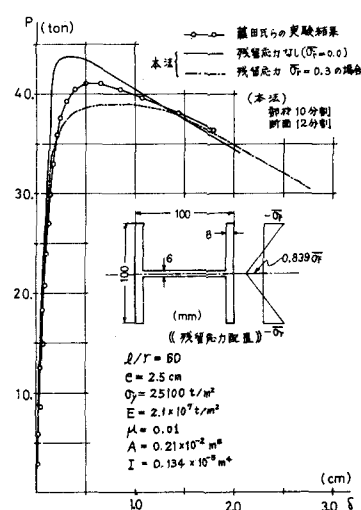


図-3 $l/r=60$ 残留応力考慮

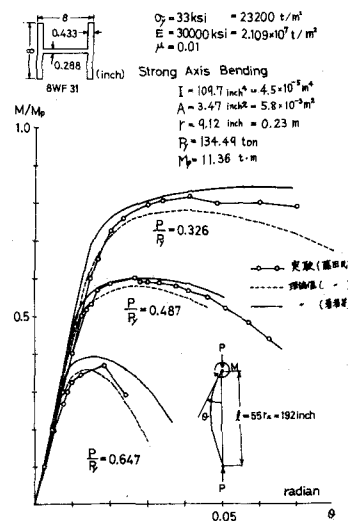


図-4 Beam-ColumnのM-θ関係

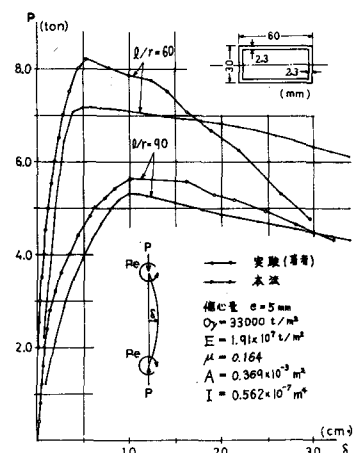


図-5 Box断面柱偏心圧縮

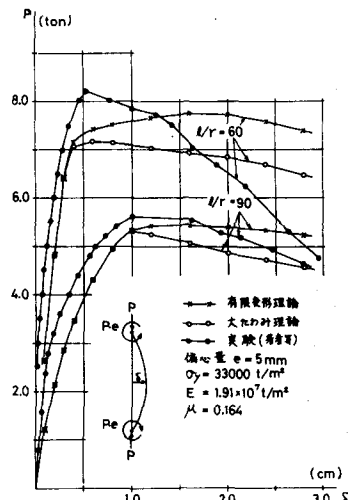


図-6 理論による比較